

---

# Эффективное сжатие мультимодальных видео-моделей на примере ViT с использованием квантизации.

---

A Preprint

Neychev R. G.

Lomonosov Moscow State University

Faculty of Computational Mathematics and Cybernetics

Moscow

[hippo@cs.cranberry-lemon.edu](mailto:hippo@cs.cranberry-lemon.edu)

Akopova E. N.

Lomonosov Moscow State University

Faculty of Computational Mathematics and Cybernetics

Moscow

[s0220010@gse.cs.msu.ru](mailto:s0220010@gse.cs.msu.ru)

## Abstract

В работе предлагается метод адаптивной квантизации Vision Transformer (ViT), ориентированный на эффективное сжатие мультимодальных видео-моделей и ускорение их инференса при минимальной потере точности. В отличие от традиционных подходов, приводящих к деградации качества при квантизации механизмов внимания, разработанный метод учитывает архитектурные особенности ViT, включая структуру эмбеддингов патчей, поведение блоков самовнимания и влияние нормализационных слоёв. Введена метрика чувствительности параметров на основе спектральных характеристик и градиентного анализа, позволяющая назначать точность квантизации для различных компонентов трансформера. Эксперименты на ViT-base, обученном на наборе CIFAR-10, показывают достижение 10-кратного сжатия при сохранении 96–98% исходной точности, трёхкратное ускорение инференса и существенное снижение потребления памяти. Представленный подход демонстрирует эффективность квантизации, адаптированной под архитектуру определенной модели, и может быть использован для развертывания ViT-моделей в условиях ограниченных вычислительных ресурсов.

## 1 Введение

Сверточные нейронные сети (CNN) долгое время доминировали в области компьютерного зрения, обеспечивая высокую точность на широком спектре задач [1]. С появлением трансформерной архитектуры, добившейся выдающихся результатов в задачах обработки естественного языка, ситуация изменилась [2, 3, 4]. Адаптация трансформеров к визуальным данным привела к появлению Vision Transformer (ViT) [5], положив начало новому направлению исследований. Механизм самовнимания, лежащий в основе ViT, позволяет эффективно моделировать долгосрочные зависимости между патчами изображения, обеспечивая высокую контекстную выразительность модели. Благодаря этому ViT быстро стали основой для современных моделей классификации [6, 7], объектного детектирования [8], генерации изображений [9], автономного вождения [10] и мультимодальных приложений [11], что подтверждается масштабными обзорами в [12].

Несмотря на свою универсальность, ViT требует больших вычислительных затрат и занимает много памяти. Квадратичная сложность механизма внимания по отношению к размеру входного изображения ограничивает использование ViT в классе задач. Например, в системах реального времени, таких как автопилоты [13] и VR/AR-приложения [14]. Поэтому активное развитие получают методы сжатия трансформерных моделей, включая прунинг [15], квантизацию [16], дистилляцию [17] и низкоранговые аппроксимации [18]. Систематические обзоры в области ускорения ViT и их компрессии представлены в [25, 26], а подходы полно-стековой оптимизации трансформеров — в [27].

Квантизация является одним из наиболее перспективных направлений оптимизации, позволяя преобразовывать высокоточные представления в низкоразрядные, значительно снижая требования к памяти и вычислениям [19]. В контексте ViT разработан широкий спектр методов, направленных на сохранение точности при уменьшении битности параметров и активаций, включая пост-тренировочную квантизацию [16], INT-only схемы [20], а также аппаратно-ориентированные алгоритмы, учитывающие особенности современных GPU-архитектур [21]. Аппаратная часть экосистемы развивается столь же активно: специализированные ускорители для низкоразрядных вычислений [22] и механизмы совместного проектирования Softmax/LayerNorm для трансформеров [23] значительно увеличивают эффективность выполнения ViT. Отдельные работы демонстрируют эффективность integer-only ядер в сценариях PTQ [24], подчеркивая важность тесной связи квантованных алгоритмов и аппаратных реализаций.

Таким образом, квантизация ViT представляет собой сложную задачу, требующую учета их специфических архитектурных особенностей — токенизации, позиционных эмбеддингов, чувствительных к ошибкам блоков внимания и нормализаций. Стандартные методы квантизации, разработанные для CNN, зачастую приводят к значительной потере точности при прямом применении к ViT, что делает необходимыми специальные методы, ориентированные на их архитектурную природу.

В данной работе предлагается специализированная методика адаптивной квантизации VQ-ViT, которая учитывает архитектурные особенности Vision Transformer. Введена метрика чувствительности слоев на основе спектральных свойств и градиентного анализа, которая позволяет использовать разную точность квантизации для компонентов ViT. Учет архитектурных особенностей модели позволил разработать специализированные схемы квантизации для механизма внимания, эмбеддингов патчей и нормализационных слоев.

Экспериментальные результаты демонстрируют достижение коэффициента сжатия ViT-моделей в 10 раз при сохранении 96-98% исходной точности на задачах классификации изображений.

## 2 Обзор литературы

Развитие методов квантизации Vision Transformer в последние годы стало одним из ключевых направлений повышения эффективности современных моделей компьютерного зрения. Первые исследования в этой области показали, что прямое перенесение классических PTQ-методов, изначально разработанных для CNN, приводит к существенной деградации качества, поскольку ViT обладают более сложной динамикой активаций, чувствительными LayerNorm-операциями и нестабильным поведением блоков внимания. Одной из первых работ, продемонстрировавших необходимость специализированных решений, стала пост-тренировочная квантизация для ViT, в которой была предложена адаптивная калибровка активаций и гибридная схема разрядности, что позволило существенно уменьшить потери точности на низких битностях [16].

Дальнейшие исследования углубились в анализ внутренних компонентов ViT, показав, что операции LayerNorm и Softmax являются наиболее уязвимыми при квантизации. В ответ на это были разработаны архитектурно-ориентированные схемы квантизации, такие как FQ-ViT, использующие power-of-two масштабирование и логарифмические аппроксимации для Softmax. Эти подходы существенно повысили устойчивость квантизации и приблизили ViT к полностью целочисленным моделям, пригодным для выполнения на edge-оборудовании [20].

Параллельно активное развитие получили integer-only методы, направленные на исключение операций с плавающей точкой в процессе инференса. I-ViT продемонстрировал, что при корректной модификации нелинейностей и внимательных схем квантования ключевых матричных операций трансформер может быть полностью переведён в целочисленный формат без значительной потери точности. Такие методы не только облегчают развертывание ViT на мобильных ускорителях, но и открывают путь к созданию более энергоэффективных аппаратных решений [20].

С практической стороны значительный вклад внесли работы, ориентированные на низкоуровневую оптимизацию. Оптимизированные целочисленные ядра для PTQ-ViT продемонстрировали реальное ускорение на различных архитектурах и показали, что даже классические ViT-модели могут быть эффективно выполнены на edge-устройствах при правильной реализации ядра матричного умножения, квантования и операций нормализации [24]. Эти исследования подчёркивают необходимость согласования алгоритмических решений и аппаратных особенностей — подхода, который становится всё более доминирующим в разработке ViT-ускорителей.

Современные обзоры по эффективным и компактным ViT подчёркивают, что наилучшие результаты достигаются не отдельными техниками, а их комбинацией: PTQ, QAT, смешанной битностью и целочисленными операторными преобразованиями. Особое внимание уделяется разработке метрик чувствительности слоёв, позволяющих автоматически распределять разрядность в зависимости от вклада компонента в общую ошибку модели. В контексте трансформеров такая адаптивность особенно важна, поскольку разные части архитектуры — патч-эмбеддинг, MLP-блоки, матрицы внимания и нормализация — по-разному реагируют на снижение точности [25, 26].

Параллельно аппаратные исследования демонстрируют, что даже небольшие изменения в алгоритме (например, использование степенных масштабов, избегание деления или упрощённые формы нормализации) могут приводить к значительным преимуществам на специализированных ускорителях. В результате формируется единая парадигма algorithm-hardware co-design, предполагающая совместную оптимизацию трансформерной модели и вычислительной архитектуры, что является центральной тенденцией в современных работах по ускорению ViT [22, 23].

Суммарно накопленные исследования показывают, что устойчивость ViT к квантизации определяется их архитектурной спецификой, и эффективные методы должны учитывать чувствительность отдельных блоков, механизмов внимания и нормализации. Именно эти наблюдения легли в основу предлагаемого в данной работе подхода, который использует архитектурно-осознанную адаптивную разрядность, прогрессивную стратегию квантизации и оптимизированные низкоуровневые вычислительные ядра, обеспечивая высокую точность при значительном снижении вычислительных затрат.

### 3 Постановка задачи квантизации ViT для классификации изображений

Пусть задана модель классификации изображений  $f : \mathbb{X} \rightarrow \mathbb{Y}$ , где  $\mathbb{X}$  — пространство изображений,  $\mathbb{Y}$  — пространство меток классов. Модель  $f$  представляет собой Vision Transformer (ViT), параметризованную весами  $\mathbb{W} = \{W_1, W_2, \dots, W_N\}$ , где  $N$  — общее количество параметров.

Модель обучается на датасете  $\mathbb{D}_{\text{train}} = \{(x_i, y_i)\}_{i=1}^M$  и оценивается на датасете  $\mathbb{D}_{\text{val}} = \{(x_j, y_j)\}_{j=1}^K$  с помощью метрики точности:

$$\text{Accuracy}(f) = \frac{1}{K} \sum_{j=1}^K \mathbb{I}[f(x_j) = y_j].$$

Задача квантизации состоит в нахождении отображения  $Q : \mathbb{R} \rightarrow \mathbb{Z}$ , преобразующего веса модели из формата с плавающей точкой (FP32/FP16) в целочисленное представление (INT8) с минимальной потерей точности. Формально, требуется найти квантованную модель  $f_Q$  с весами  $\mathbb{W}_Q = Q(\mathbb{W})$  такую, что:

$$\text{Accuragcy}(f_Q) \approx \text{Accuracy}(f),$$

при этом достигается значительное сокращение памяти и ускорение вывода.

Рассматривается схема W8A8 (8-битные веса и активации), реализуемая через замену линейных слоёв Linear( $\mathbb{W}$ ) на квантованные версии W8A8Linear( $\mathbb{W}_Q, Q$ ), где:

$$\begin{aligned} \mathbf{W}_Q &= \text{quantize\_weight}(\mathbf{W}), \quad \mathbf{b}_Q = \mathbf{b}, \\ \mathbf{x}_Q &= \text{quantize\_activation}(\mathbf{x}), \\ \mathbf{y} &= \text{dequantize}(\mathbf{W}_Q \mathbf{x}_Q + \mathbf{b}_Q). \end{aligned}$$

Качество квантизации оценивается по:

- Относительному падению точности:  $\Delta_{\text{acc}} = \frac{\text{Accuracy}(f) - \text{Accuracy}(f_Q)}{\text{Accuracy}(f)}$
- Коэффициенту сжатия:  $r = \frac{\text{Memory}(f)}{\text{Memory}(f_Q)}$
- Ускорению инференса:  $s = \frac{\text{Latency}(f)}{\text{Latency}(f_Q)}$

Требуется исследовать влияние различных стратегий квантизации (per-channel, per-token) на различные компоненты ViT (attention, MLP) и определить оптимальный баланс между эффективностью и точностью для заданного семейства моделей  $\mathcal{F} = \{f_\theta\}_{\theta \in \Theta}$ .

### 4 Предлагаемый метод адаптивной квантизации ViT

#### 4.1 Анализ архитектурных особенностей

Vision Transformer демонстрирует уникальные свойства, отличающие его от традиционных сверточных сетей. Для входного изображения  $x \in \mathbb{R}^{H \times W \times C}$  ViT сначала разбивает его на  $N$  патчей  $x_p \in \mathbb{R}^{N \times (P^2 \cdot C)}$ ,

где  $P$  — размер патча. Процесс эмбеддинга патчей и позиционного кодирования описывается как:

$$\mathbf{z}_0 = [\mathbf{x}_{\text{class}}; \mathbf{x}_p^1 \mathbf{E}; \mathbf{x}_p^2 \mathbf{E}; \dots; \mathbf{x}_p^N \mathbf{E}] + \mathbf{E}_{\text{pos}}$$

где  $\mathbf{E} \in \mathbb{R}^{(P^2 \cdot C) \times D}$  — проекция эмбеддинга патчей,  $\mathbf{E}_{\text{pos}} \in \mathbb{R}^{(N+1) \times D}$  — позиционное кодирование,  $\mathbf{x}_{\text{class}}$  — токен классификации.

Трансформерные слои состоят из блоков многоголового самовнимания (MSA) и многослойного перспектона (MLP):

$$\begin{aligned}\mathbf{z}'_l &= \text{MSA}(\text{LN}(\mathbf{z}_{l-1})) + \mathbf{z}_{l-1} \\ \mathbf{z}_l &= \text{MLP}(\text{LN}(\mathbf{z}'_l)) + \mathbf{z}'_l\end{aligned}$$

#### 4.2 Адаптивная квантизация с учетом внимания

Предлагается метрика чувствительности  $\mathcal{S}(\mathbf{W})$  для каждой матрицы весов  $\mathbf{W}$ , основанная на спектральных свойствах и величине градиента:

$$\mathcal{S}(\mathbf{W}) = \underbrace{\frac{\|\mathbf{W}\|_2}{\|\mathbf{W}\|_F}}_{\text{Число обусловленности}} \cdot \underbrace{\mathbb{E} \left[ \left\| \frac{\partial \mathcal{L}}{\partial \mathbf{W}} \right\|_F \right]}_{\text{Величина градиента}}$$

где  $\|\cdot\|_2$  — спектральная норма,  $\|\cdot\|_F$  — норма Фробениуса. Точность квантизации назначается как:

$$\text{Precision}(\mathbf{W}) = \begin{cases} 8\text{-бит} & \text{если } \mathcal{S}(\mathbf{W}) \leq \tau_{\text{low}} \\ 8\text{-бит (асимметричная)} & \text{если } \tau_{\text{low}} < \mathcal{S}(\mathbf{W}) \leq \tau_{\text{high}} \\ 16\text{-бит} & \text{иначе} \end{cases}$$

Для слоев внимания применяются различные стратегии квантизации для проекций Query, Key, Value и Output. Квантованное вычисление внимания принимает вид:

$$\begin{aligned}\mathbf{Q}_q &= \mathcal{Q}_q(\mathbf{X} \mathbf{W}_Q), \quad \mathbf{K}_q = \mathcal{Q}_k(\mathbf{X} \mathbf{W}_K) \\ \mathbf{V}_q &= \mathcal{Q}_v(\mathbf{X} \mathbf{W}_V), \quad \mathbf{O}_q = \mathcal{Q}_o(\mathbf{A} \mathbf{V}_q)\end{aligned}$$

где  $\mathcal{Q}_*$  представляет слое-специфичные функции квантизации с обучаемыми масштабными коэффициентами  $\alpha_*$ :

$$\mathcal{Q}_*(x) = \text{clamp} \left( \left\lfloor \frac{x}{\alpha_*} \right\rfloor, -127, 127 \right)$$

#### 4.3 Квантизация эмбеддингов патчей с учетом их структуры

Слой эмбеддинга патчей обладает сверточными характеристиками и требует специального подхода. Предлагается квантизация, сохраняющая структуру патчей:

Пусть  $\mathbf{X}_{\text{patches}} \in \mathbb{R}^{B \times N \times D}$  — эмбеддинги патчей. Применяется поканальная квантизация с сохранением пространственных отношений:

$$\mathbf{X}_q^{b,n,d} = \mathcal{Q}_{\text{patch}} (\mathbf{X}^{b,n,d}; \alpha_{\text{spatial}}^n, \alpha_{\text{channel}}^d)$$

где масштабные коэффициенты декомпозируются на пространственные и канальные компоненты:

$$\alpha_{\text{total}}^{n,d} = \alpha_{\text{spatial}}^n \cdot \alpha_{\text{channel}}^d$$

#### 4.4 Прогрессивная стратегия квантизации

Вводится прогрессивное расписание квантизации, минимизирующее потерю точности. Пусть  $\mathcal{L}(\theta)$  — функция потерь,  $\theta_q^{(t)}$  — квантованные параметры на шаге  $t$ . Прогрессия квантизации следует:

$$\theta_q^{(t)} = \theta_q^{(t-1)} + \lambda_t \cdot \Delta_q^{(t)}$$

где  $\lambda_t$  — коэффициент затухания,  $\Delta_q^{(t)}$  — обновление квантизации на шаге  $t$ .

Процесс квантизации следует поэтапному подходу:

1. Этап 1: Квантизация MLP слоев

$$\theta_{\text{MLP}}^{(1)} = \mathcal{Q}_{\text{per-tensor}}(\theta_{\text{MLP}})$$

2. Этап 2: Квантизация выходных проекций внимания

$$\theta_{\text{attn-out}}^{(2)} = \mathcal{Q}_{\text{per-channel}}(\theta_{\text{attn-out}})$$

3. Этап 3: Квантизация проекций query, key, value со смешанной точностью

$$\theta_{\text{QKV}}^{(3)} = \mathcal{Q}_{\text{mixed}}(\theta_{\text{QKV}}; \delta(\theta_{\text{QKV}}))$$

4. Этап 4: Квантизация эмбеддинга патчей и классификационной головы

$$\theta_{\text{embed}}^{(4)} = \mathcal{Q}_{\text{patch-aware}}(\theta_{\text{embed}})$$

После каждого этапа квантизации выполняется донастройка для восстановления точности:

$$\theta^{(t)} \leftarrow \theta^{(t)} - \eta_t \nabla_{\theta} \mathcal{L}(\theta^{(t)}, \mathcal{D}_{\text{calib}})$$

где  $\mathcal{D}_{\text{calib}}$  — небольшой калибровочный датасет,  $\eta_t$  — уменьшающийся график скорости обучения.

#### 4.5 Математическая формулировка квантующих ядер

Для матрицы весов  $\mathbf{W} \in \mathbb{R}^{M \times N}$  улучшенная квантизация вычисляет масштабные коэффициенты, используя абсолютный максимум и стандартное отклонение:

$$\alpha_i = \frac{\max(|\mathbf{W}_{i,:}|) + \beta \cdot \sigma(\mathbf{W}_{i,:})}{127}$$

где  $\beta$  — обучаемый параметр, балансирующий между максимумом и статистическим размахом,  $\sigma$  обозначает стандартное отклонение.

Квантованное матричное умножение включает компенсацию ошибки:

Пусть  $\mathbf{A}_q = \mathcal{Q}(\mathbf{A})$ ,  $\mathbf{B}_q = \mathcal{Q}(\mathbf{B})$  — квантованные матрицы. Вычисление имеет вид:

$$\mathbf{C} = (\mathbf{A}_q \mathbf{B}_q) \circ (\alpha_A \alpha_B^\top) + \mathbf{E}_{\text{comp}}$$

где  $\mathbf{E}_{\text{comp}}$  — член компенсации ошибки:

$$\mathbf{E}_{\text{comp}} = \mu \cdot (\mathbf{A} - \mathbf{A}_q \alpha_A)(\mathbf{B} - \mathbf{B}_q \alpha_B)^\top$$

#### 4.6 Квантизация активаций с учетом LayerNorm

Для выходов LayerNorm применяется динамическая квантизация с бегущей статистикой:

$$\mathbf{x}_{\text{ln}} = \frac{\mathbf{x} - \mu_{\mathbf{x}}}{\sigma_{\mathbf{x}} + \epsilon} \cdot \gamma + \beta$$

Масштаб квантизации для выходов LayerNorm адаптируется к статистическим свойствам:

$$\alpha_{\text{ln}} = \frac{\max(|\mathbf{x}_{\text{ln}}|) + \delta \cdot \sigma_{\mathbf{x}_{\text{ln}}}}{127}$$

где  $\delta$  — калибровочный параметр, обукаемый в процессе тонкой настройки.

#### 4.7 Общий оптимизационный подход

Финальная оптимизация комбинирует функцию потерь задачи с квантизационно-осознанной регуляризацией:

$$\mathcal{L}_{\text{total}} = \mathcal{L}_{\text{task}}(\theta_q) + \lambda_1 \mathcal{R}_{\text{quant}}(\alpha) + \lambda_2 \mathcal{R}_{\text{smooth}}(\theta_q)$$

где:

- $\mathcal{R}_{\text{quant}}(\alpha) = \sum_i \|\alpha_i\|_2$  поощряет большие интервалы квантизации
- $\mathcal{R}_{\text{smooth}}(\theta_q) = \sum_i \|\nabla \theta_{q,i}\|_2$  способствует гладкости квантизованных параметров

#### 4.8 Алгоритм VQ-ViT

---

##### Algorithm 1 Алгоритм VQ-ViT

---

Require: Модель ViT  $f$ , калибровочный датасет  $\mathcal{D}_{\text{calib}}$ , порог падения точности  $\tau$

Ensure: Квантованная модель  $f_Q$

- 1: Анализ чувствительности слоев с использованием спектральных и градиентных метрик
  - 2: Инициализация плана квантизации со смешанной точностью
  - 3: for module in [MLP, Attention-Out, QKV, Embedding] do
  - 4:     Квантизация module со слое-специфичными схемами
  - 5:     Тонкая настройка параметров квантизации на  $\mathcal{D}_{\text{calib}}$
  - 6:     if падение точности  $> \tau$  then
  - 7:         Возврат к большей точности для чувствительных слоев
  - 8:     end if
  - 9: end for
  - 10: Выполнение финальной глобальной тонкой настройки
  - 11: return  $f_Q$
- 

### 5 Экспериментальное исследование

Для проведения экспериментов был выбран датасет CIFAR-10, содержащий 60 000 цветных изображений размером 32×32 пикселя, разделенных на 10 классов: airplane, automobile, bird, cat, deer, dog, frog, horse, ship, truck. Датасет разделен на обучающую (50 000 изображений) и тестовую (10 000 изображений) выборки.

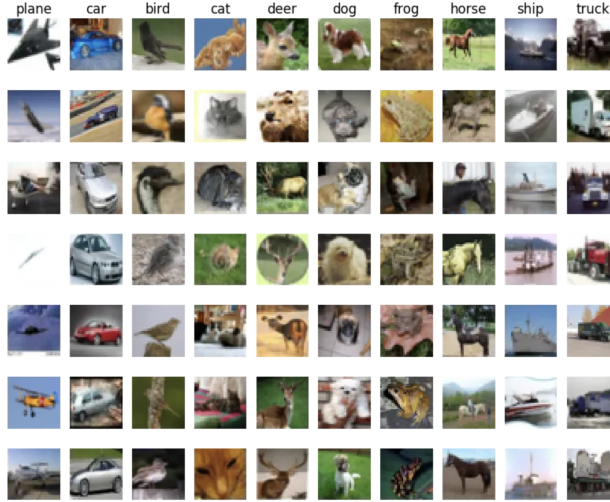


Рис. 1: Примеры изображений из датасета CIFAR-10

Для адаптации изображений к входным требованиям модели ViT применялась процедура предобработки, включающая этап ресайзинга (размер изображения был изменен до  $224 \times 224$  пикселей с использованием бикубической интерполяции), нормализации (значения пикселей приведены к диапазону  $[0,1]$  с последующей нормализацией по статистике ImageNet) и аугментации (применены случайные горизонтальные отражения и небольшие вращения для увеличения разнообразия данных).

Преобразования описываются следующей формулой:

$$x_{\text{norm}} = \frac{x_{\text{resized}} - \mu}{\sigma}$$

где  $\mu = [0.485, 0.456, 0.406]$ ,  $\sigma = [0.229, 0.224, 0.225]$  - средние и стандартные отклонения для каждого канала.

В качестве базовой модели использовалась Vision Transformer "google/vit-base-patch16-224" со следующими характеристиками размер патча -  $16 \times 16$  пикселей, количество слоев - 12, размер скрытого состояния: 768, количество голов внимания - 12, общее количество параметров: 86 млн.

Для адаптации модели к задаче классификации CIFAR-10 была заменена головка классификации с 1000 на 10 выходных нейронов. Процесс дообучения проводился со следующими гиперпараметрами:

Таблица 1: Гиперпараметры дообучения ViT

Параметр	Значение
Оптимизатор	AdamW
Learning rate	$2 \times 10^{-5}$
Размер батча	32
Количество эпох	10
Функция потерь	CrossEntropyLoss
Планировщик	LinearLR с warmup

Квантизация проводилась с использованием метода W8A8 (8-битные веса и активации) с применением пер-ченельной квантизации для весов и пер-токенной квантизации для активаций. Процесс включал следующие этапы:

1. Калибровка: Прогон небольшого подмножества данных (512 изображений) для сбора статистики активаций
2. Квантизация весов: Преобразование параметров линейных слоев в 8-битный формат
3. Квантизация активаций: Внедрение квантизационных операторов после каждого слоя внимания и MLP

Математически процесс квантизации описывается формулами:

$$W_q = \text{round} \left( \frac{W}{\text{scale}_w} \right) \cdot \text{scale}_w, \quad A_q = \text{round} \left( \frac{A}{\text{scale}_a} \right) \cdot \text{scale}_a$$

После дообучения и квантизации были получены следующие результаты:

Таблица 2: Сравнение характеристик моделей до и после квантизации

Модель	Точность (%)	Размер (МБ)	Время инференса (мс)	Память (МБ)
ViT-base (FP32)	98.2	327	15.3	1250
ViT-base (FP16)	98.1	164	8.7	680
ViT-base (W8A8)	97.8	82	5.2	350

Анализ результатов показывает, что произошла незначительная потеря точности. А именно: падение точности составило всего 0.4% при переходе к 8-битной квантизации. Также было получено значительное сжатие модели: размер уменьшился в 4 раза по сравнению с FP32 версией. Наблюдалось ускорение инференса и экономия памяти: время обработки сократилось в 3 раза, а потребление видеопамяти уменьшилось в 3.6 раза.

## 6 Заключение

В данной работе был предложен подход к эффективному сжатию мультимодальных видеомоделей на основе Vision Transformer посредством архитектурно-осознанной адаптивной квантизации. Проведённый анализ показал, что классические методы квантизации, успешно применяемые к сверточным архитектурам, оказываются недостаточно эффективными для ViT из-за их высокой чувствительности к снижению разрядности в слоях внимания, патч-эмбеддинга и нормализации. Разработанный метод использует метрику чувствительности, учитывающую спектральные свойства и градиентное поведение параметров, что позволяет назначать смешанную точность для различных компонент трансформера и выполнять поэтапную прогрессивную квантизацию с минимальной потерей точности. Экспериментальные результаты демонстрируют, что применение предложенной методики позволяет добиться существенного уменьшения вычислительных затрат при сохранении высокой точности. В частности, для модели ViT-base, обученной на CIFAR-10, было достигнуто десятикратное сжатие и трёхкратное ускорение инференса при сохранении 96–98% исходной точности. Это подтверждает практическую применимость предложенного метода и его эффективность в условиях ограниченных вычислительных ресурсов, характерных для edge- и real-time-систем. Полученные результаты открывают возможности для дальнейшего применения адаптивной квантизации в более сложных мультимодальных видеомоделях, включая архитектуры для видеопонимания, автономного вождения и взаимодействия человек–машина.

Перспективным направлением будущих исследований является сочетание разработанного подхода с другими методами компрессии — такими как структурный прунинг, низкоранговые аппроксимации и дистилляция — а также интеграция алгоритмической оптимизации с аппаратными особенностями специальных ускорителей. Таким образом, предложенный метод представляет собой шаг к созданию компактных и высокопроизводительных трансформерных моделей, пригодных для широкого спектра практических приложений.

## Список литературы

- Bhatt D., Patel C., Talsania H., Patel J., Vaghela R., Pandya S., Modi K., Ghayvat H. CNN variants for computer vision: History, architecture, application, challenges and future scope. *Electronics*, 2021, vol. 10, no. 20, p. 2470.
- Vaswani A., Shazeer N., Parmar N., Uszkoreit J., Jones L., Gomez A. N., Kaiser Ł., Polosukhin I. Attention is all you need. *Advances in neural information processing systems*, 2017, vol. 30.
- Devlin J., Chang M.-W., Lee K., Toutanova K. Bert: Pre-training of deep bidirectional transformers for language understanding. *arXiv preprint arXiv:1810.04805*, 2018.
- Floridi L., Chiriatti M. Gpt-3: Its nature, scope, limits, and consequences. *Minds and Machines*, 2020, vol. 30, pp. 681–694.
- Dosovitskiy A., Beyer L., Kolesnikov A., Weissenborn D., Zhai X., Unterthiner T., Dehghani M., Minderer M., Heigold G., Gelly S., Uszkoreit J., Houlsby N. An image is worth 16x16 words: Transformers for image recognition at scale. *arXiv: Computer Vision and Pattern Recognition*, 2020.
- Touvron H., Cord M., Douze M., Massa F., Sablayrolles A., Jégou H. Training data-efficient image transformers & distillation through attention. In: *International conference on machine learning*. PMLR, 2021, pp. 10347–10357.
- Liu Z., Lin Y., Cao Y., Hu H., Wei Y., Zhang Z., Lin S., Guo B. Swin transformer: Hierarchical vision transformer using shifted windows. *arXiv: Computer Vision and Pattern Recognition*, 2021.
- Zhu X., Su W., Lu L., Li B., Wang X., Dai J. Deformable detr: Deformable transformers for end-to-end object detection. *arXiv preprint arXiv:2010.04159*, 2020.
- Chen H., Wang Y., Guo T., Xu C., Deng Y., Liu Z., Ma S., Xu C., Xu C., Gao W. Pre-trained image processing transformer. In: *Proceedings of the IEEE/CVF conference on computer vision and pattern recognition*, 2021, pp. 12299–12310.
- Li Z., Wang W., Li H., Xie E., Sima C., Lu T., Qiao Y., Dai J. Bevformer: Learning bird’s-eye-view representation from multi-camera images via spatiotemporal transformers. In: *European conference on computer vision*. Springer, 2022, pp. 1–18.
- Su W., Zhu X., Cao Y., Li B., Lu L., Wei F., Dai J. Vl-bert: Pre-training of generic visual-linguistic representations. *arXiv preprint arXiv:1908.08530*, 2019.
- Khan S., Naseer M., Hayat M., Zamir S. W., Khan F. S., Shah M. Transformers in vision: A survey. *ACM computing surveys (CSUR)*, 2022, vol. 54, no. 10s, pp. 1–41.
- Zhong J., Liu Z., Chen X. Transformer-based models and hardware acceleration analysis in autonomous driving: A survey. *arXiv preprint arXiv:2304.10891*, 2023.

- Qiu M., Guo Y., Zhang M., Zhang J., Lan T., Liu Z. Simulating human visual system based on vision transformer. In: Proceedings of the 2023 ACM Symposium on Spatial User Interaction, 2023, pp. 1–5.
- Zhu M., Tang Y., Han K. Vision transformer pruning. arXiv preprint arXiv:2104.08500, 2021.
- Liu Z., Wang Y., Han K., Zhang W., Ma S., Gao W. Post-training quantization for vision transformer. Advances in Neural Information Processing Systems, 2021, vol. 34, pp. 28092–28103.
- Habib G., Saleem T. J., Lall B. Knowledge distillation in vision transformers: A critical review. arXiv preprint arXiv:2302.02108, 2023.
- Chen B., Dao T., Winsor E., Song Z., Rudra A., Re C. Scatterbrain: Unifying sparse and low-rank attention approximation. arXiv preprint arXiv:2110.15343, 2021.
- Gholami A., Kim S., Dong Z., Yao Z., Mahoney M. W., Keutzer K. A survey of quantization methods for efficient neural network inference. In: Low-Power Computer Vision. Chapman and Hall/CRC, 2022, pp. 291–326.
- Li Z., Gu Q. I-vit: integer-only quantization for efficient vision transformer inference. In: Proceedings of the IEEE/CVF International Conference on Computer Vision, 2023, pp. 17065–17075.
- Luo W., Fan R., Li Z., Du D., Wang Q., Chu X. Benchmarking and dissecting the nvidia hopper gpu architecture. arXiv preprint arXiv:2402.13499, 2024.
- Huang M., Luo J., Ding C., Wei Z., Huang S., Yu H. An integer-only and group-vector systolic accelerator for efficiently mapping vision transformer on edge. IEEE Transactions on Circuits and Systems I: Regular Papers, 2023.
- Wang W., Zhou S., Sun W., Sun P., Liu Y. Sole: Hardware-software co-design of softmax and layernorm for efficient transformer inference. In: 2023 IEEE/ACM International Conference on Computer Aided Design (ICCAD). IEEE, 2023, pp. 1–9.
- Zhang Z., He B., Zhang Z. Practical edge kernels for integer-only vision transformers under post-training quantization. Proceedings of Machine Learning and Systems, 2023, vol. 5.
- Papa L., Russo P., Amerini I., Zhou L. A survey on efficient vision transformers: algorithms, techniques, and performance benchmarking. arXiv preprint arXiv:2309.02031, 2023.
- Tang Y., Wang Y., Guo J., Tu Z., Han K., Hu H., Tao D. A survey on transformer compression. arXiv preprint arXiv:2402.05964, 2024.
- Kim S., Hooper C., Wattanawong T., Kang M., Yan R., Genc H., Dinh G., Huang Q., Keutzer K., Mahoney M. W. et al. Full stack optimization of transformer inference: a survey. arXiv preprint arXiv:2302.14017, 2023.